

# Министерство науки и высшего образования Российской Федерации Федеральное государственное бюджетное образовательное учреждение высшего образования

# «Московский государственный технический университет имени Н.Э. Баумана

(национальный исследовательский университет)» (МГТУ им. Н.Э. Баумана)

ФАКУЛЬТЕТ «Информатика и системы управления»	
КАФЕДРА <u>«Программное обеспечение ЭВМ и информационные технологии»</u>	

### Лабораторная работа № 4

Дисциплина: Моделирование

Тема: Программно-алгоритмическая реализация моделей на основе дифференциальных уравнений в частных производных с краевыми условиями II и III рода.

Студент: Гасанзаде М.А.
Группа ИУ7-66Б
Оценка (баллы)
Преподаватель : Градов В.М.

## СОДЕРЖАНИЕ

І. АНАЛИТИЧЕСКАЯ ЧАСТЬ	3
Цель работы	3
Исходные данные	
Физический смысл задачи	
II. ТЕХНОЛОГИЧЕСКАЯ ЧАСТЬ	
Листинг	
ІІІ. ЭКСПЕРИМЕНТАЛЬНАЯ ЧАСТЬ	8
IV. ОТВЕТЫ НА ВОПРОСЫ	10
ЗАКЛЮЧЕНИЕ	11
СПИСОК ИСПОЛЬЗОВАННОЙ ЛИТЕРАТУРЫ	12

### І. АНАЛИТИЧЕСКАЯ ЧАСТЬ.

### Цель работы

Получение навыков разработки алгоритмов решения смешанной краевой задачи при реализации моделей, построенных на квазилинейном уравнении параболического типа.

### Исходные данные

1. Задана математическая модель.

Уравнение для функции T(x,t)

$$c(T)\frac{\partial T}{\partial t} = \frac{\partial}{\partial x} \left( k(T)\frac{\partial T}{\partial x} \right) - \frac{2}{R}\alpha(x)T + \frac{2T_0}{R}\alpha(x)$$
 (1)

2. Краевые условия: 
$$\begin{cases} t = 0, & T(x,0) = T_0, \\ x = 0, & -k(T(0)) \frac{\partial T}{\partial x} = F_0, \\ x = l, & -k(T(l)) \frac{\partial T}{\partial x} = \alpha_N(T(l) - T_0) \end{cases}$$

3. Разностная схема с разностным краевым условием при x=0

$$\widehat{A}_{n}\widehat{y}_{n-1} - \widehat{B}_{n}\widehat{y}_{n} + \widehat{D}_{n}\widehat{y}_{n+1} = -\widehat{F}_{n}$$
(2)

$$\left(\frac{h}{8}\widehat{c_{1/2}} + \frac{h}{4}\widehat{c_0} + \widehat{\chi_{1/2}}\frac{\tau}{h} + \frac{\tau h}{8}p_{1/2} + \frac{\tau h}{4}p_0\right)\widehat{y_0} + \left(\frac{h}{8}\widehat{c_{1/2}} - \widehat{\chi_{1/2}}\frac{\tau}{h} + \frac{\tau h}{8}p_{1/2}\right)\widehat{y_1} = \\
= \frac{h}{8}\widehat{c_{1/2}}(y_0 + y_1) + \frac{h}{4}\widehat{c_0}y_0 + \widehat{F}\tau + \frac{\tau h}{4}(\widehat{f_{1/2}} + \widehat{f_0})$$
(3)

Разностный аналог краевого условия при x=l интегро-интерполяционным методом, интегрируя на отрезке  $[x_{N-1/2}, x_N]$  уравнение (1), учитывая, что по-

ток 
$$\widehat{F}_{\scriptscriptstyle N} = \alpha_{\scriptscriptstyle N} (\widehat{y_{\scriptscriptstyle N}} - T_{\scriptscriptstyle 0})$$
 ,а  $\widehat{F}_{\scriptscriptstyle N-1/2} = \widehat{\chi_{\scriptscriptstyle N-1/2}} \frac{\widehat{y_{\scriptscriptstyle N-1}} - \widehat{y_{\scriptscriptstyle N}}}{h}$  :

newformul

### Физический смысл задачи.

- 1. Сформулированная в данной работе математическая модель описывает **нестационарное** температурное поле T(x,t), зависящее от координаты x и меняющееся во времени.
- 2. Свойства материала стержня привязаны к температуре, т.е. теплоемкость и коэффициент теплопроводности c(T), k(T) зависят от T, тогда как в работе №3 k(x) зависит от координаты, а c = 0.
- 3. При x = 0 цилиндр нагружается тепловым потоком F(t), в общем случае зависящим от времени, а в работе №3 поток был постоянный.

Если в настоящей работе задать поток постоянным, т.е. F(t) = const, то будет происходить формирование температурного поля от начальной температуры  $T_0$  до некоторого установившегося (стационарного) распределения T(x,t). Это поле в дальнейшем с течением времени меняться не будет и должно совпасть с температурным распределением T(x), получаемым в лаб. работе №3, если все параметры задач совпадают, в частности, вместо k(T) надо использовать k(x) из лаб. работы №3. Это полезный факт для тестирования программы.

Если после разогрева стержня положить поток F(t) =0, то будет происходить остывание, пока температура не выровняется по всей длине и не станет равной  $T_0$ .

При произвольной зависимости потока F(t) от времени температурное поле будет как-то сложным образом отслеживать поток.

Замечание. Варьируя параметры задачи, следует обращать внимание на то, что решения, в которых температура превышает примерно 2000К, физического смысла не имеют и практического интереса не представляют.

### **II. ТЕХНОЛОГИЧЕСКАЯ ЧАСТЬ**

ЯП был выбран Python3 из-за простоты работы с графиками и библиотеки matplotlib. Ниже на листингах будет представлена реализация программы:

### Листинг

aaaaaaaaaaaaaaaaaaaaaaaaaaaaaaaaaaaaaaa
aaaaaaaaaaaaaaaaaaaaaaaaaaaaaaaaaaaaaaa
aaaaaaaaaaaaaaaaaaaaaaaaaaaaaaaaaaaaa
aaaaaaaaaaaaaaaaaaaaaaaaaaaaaaaaaaaaaaa
aaaaaaaaaaaaaaaaaaaaaaaaaaaaaaaaaaaaa
aaaaaaaaaaaaaaaaaaaaaaaaaaaaaaaaaaaaaaa
aaaaaaaaaaaaaaaaaaaaaaaaaaaaaaaaaaaa
$egin{array}{cccccccccccccccccccccccccccccccccccc$
aaaaaaaaaaaaaaaaaaaaaaaaaaaaaaaaaaaaa
$egin{array}{cccccccccccccccccccccccccccccccccccc$
aaaaaaaaaaaaaaaaaaaaaaaaaaaaaaaaaaaaa
aaaaaaaaaaaaaaaaaaaaaaaaaaaaaaaaaaaaaa
aaaaaaaaaaaaaaaaaaaaaaaaaaaaaaaaaaaaaaa
aaaaaaaaaaaaaaaaaaaaaaaaaaaaaaaaaaaaaaa
aaaaaaaaaaaaaaaaaaaaaaaaaaaaaaaaaaaaaaa
aaaaaaaaaaaaaaaaaaaaaaaaaaaaaaaaaaaaaaa
aaaaaaaaaaaaaaaaaaaaaaaaaaaaaaaaaaaaaaa
aaaaaaaaaaaaaaaaaaaaaaaaaaaaaaaaaaaaaa
aaaaaaaaaaaaaaaaaaaaaaaaaaaaaaaaaaaaaa
aaaaaaaaaaaaaaaaaaaaaaaaaaaaaaaaaaaaaaa

 $oldsymbol{a}$  $oldsymbol{a}$ 

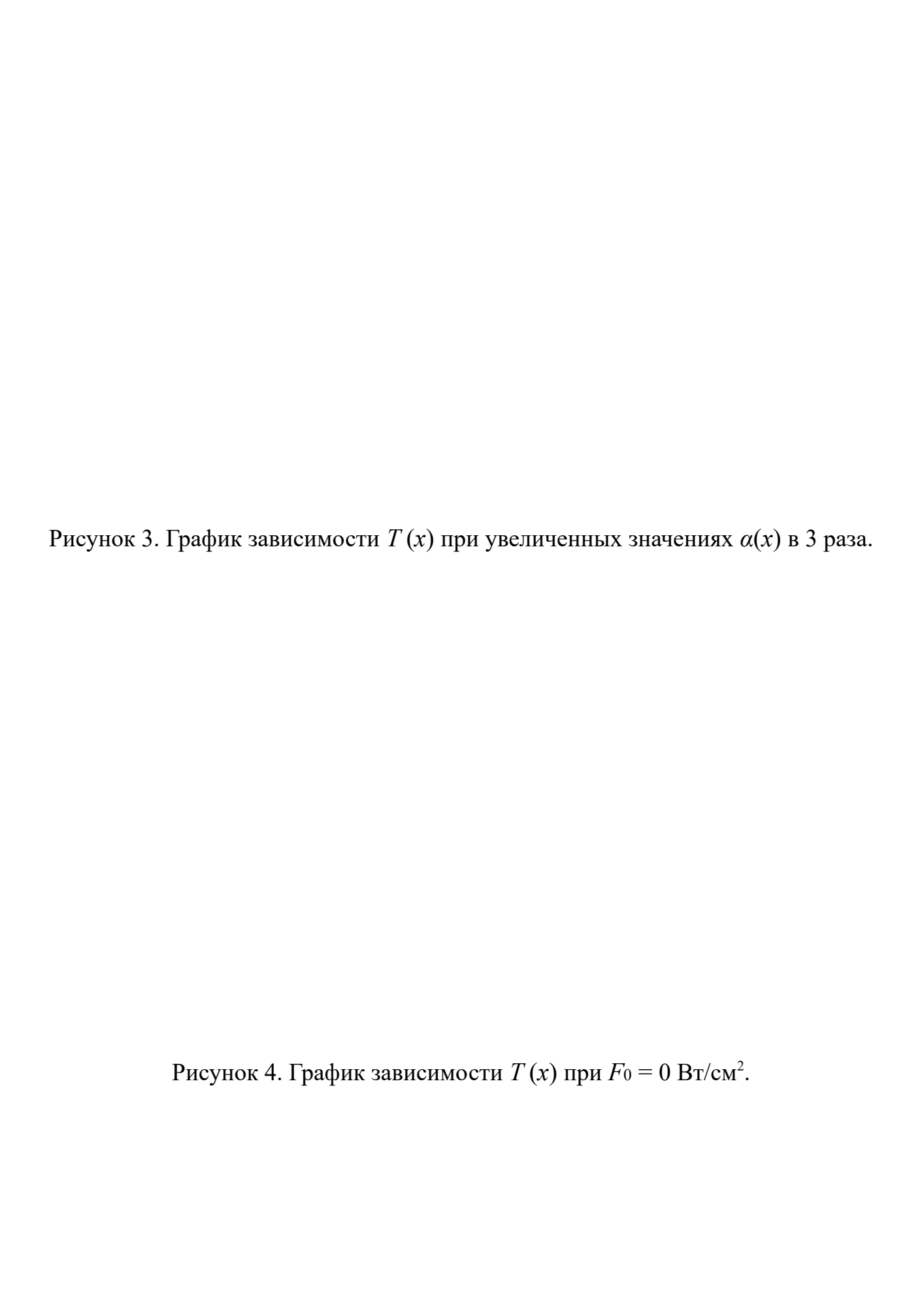
# Далее, в экспериментальной части, тестирование будет производиться по этим данным:

$$k(T)=a_1(b_1+c_1T^{m_1}),\;\;Bm/cMK,$$
 $c(T)=a_2+b_2T^{m_2}-\frac{c_2}{T^2},\;\;\mathcal{A}$ ж/см $^3K.$ 
 $lpha_1=0.0134,\;\;b_1=1,\;\;c_1=4.35\cdot10^{-4},\;\;m_1=1,$ 
 $lpha_2=2.049,\;\;b_2=0.563\cdot10^{-3},\;\;c_20.528\cdot10^5,\;\;m_2=1.$ 
 $lpha(x)=\frac{c}{x-d},\;\;$ 
 $lpha_0=0.05\;Bm/cM^2K,\;\;$ 
 $lpha_0=0.01\;Bm/cM^2K,\;\;$ 
 $l=10\;cM,\;\;$ 
 $l=10\;cM,\;$ 
 $l=100\;cM,\;$ 
 $l=1000\;cM,\;$ 
 $l=100$ 

# III. ЭКСПЕРИМЕНТАЛЬНАЯ ЧАСТЬ В данном разделе будет рассмотрен вывод программы и представлены графики зависимостей.

Рисунок 1. График зависимости температуры T(x) от координаты при заданных выше параметрах.

Рисунок 2. при  $F_0 = -50$  Вт/см<sup>2</sup>.



### **IV. ОТВЕТЫ НА ВОПРОСЫ**

- 1. Приведите результаты тестирования программы (графики, общие соображения, качественный анализ).
- 2. Выполните линеаризацию уравнения:

$$\begin{cases} \widehat{K}_0 \, \widehat{y}_0 + \widehat{M}_0 \, \widehat{y}_1 = \widehat{P}_0, \\ \widehat{A}_n \, \widehat{y}_{n-1} - \widehat{B}_n \, \widehat{y}_n + \widehat{D}_n \, \widehat{y}_{n+1} = -\widehat{F}_n, & 1 \le n \le N-1, \\ \widehat{K}_N \, \widehat{y}_N + \widehat{M}_{N-1} \, \widehat{y}_{N-1} = \widehat{P}_N \end{cases}$$

по Ньютону, полагая для простоты, что все коэффициенты зависят только от одной переменной  $\widehat{y}_n$  . Приведите линеаризованный вариант уравнения и опишите алгоритм его решения.

### ЗАКЛЮЧЕНИЕ

Его пока нет!)

### СПИСОК ИСПОЛЬЗОВАННОЙ ЛИТЕРАТУРЫ

- 1. Градов В.М. Методические указания: «<u>04-05-2020-</u> <u>Задание на лаб раб 4.doc</u>» (дата обращения 05.05.2020)
- 2. Matplotlib URL: <a href="https://matplotlib.org">https://matplotlib.org</a> (дата обращения 10.04.2020)
- 3. Градов В.М. Компьютерные технологии в практике математического моделирования часть 2 URL:

  <a href="http://ebooks.bmstu.ru/secret/html/bikqxzugca/files/assets/basic-html/page-1.html">http://ebooks.bmstu.ru/secret/html/bikqxzugca/files/assets/basic-html/page-1.html</a> (дата обращения 05.05.2020)
- Градов В.М. Лекция №14 «<u>04-05-2020-</u>
   <u>Лекция 14 Модели ДУЧП Методы постр разност схем Интегро инт ерп.pdf</u>» (дата обращения 05.05.2020)
- 5. Градов В.М. Лекция №13 «<u>04-05-2020-</u>
  <u>Лекция 13 Модели ДУЧП Методы постр разност схем Разност аппр роксим.pdf</u> » (дата обращения 05.05.2020)
- Градов В.М. Лекция №8 «30-03-2020-<u>Лекция\_№8\_Модели\_ОДУ\_краевая\_задача.pdf</u>» (дата обращения 05.05.2020)